



# ผลของเครื่องขยายเสียง 3 ชนิด ที่มีความเข้มแสงต่างกันต่อความแข็งแรงของพันธะเจือในช่วงแรกของวัสดุยึดติดทางทันตกรรมจัดฟัน

พรวนพิพิญ คงไพบูลย์ ท.บ.<sup>1</sup>

ไพบูลย์ เศษะเลิศไพศาล ท.บ., Ph.D., อ.ท. (ทันตกรรมจัดฟัน)<sup>2</sup>

นำโชค พรมสิงหา<sup>3</sup>

สาริกชัย คณานุรักษ์<sup>3</sup>

<sup>1</sup>นิสิตบัณฑิตศึกษา ภาควิชาทันตกรรมจัดฟัน คณะทันตแพทยศาสตร์ จุฬาลงกรณ์มหาวิทยาลัย

<sup>2</sup>ภาควิชาทันตกรรมจัดฟัน คณะทันตแพทยศาสตร์ จุฬาลงกรณ์มหาวิทยาลัย

<sup>3</sup>นิสิตทันตแพทย์ คณะทันตแพทยศาสตร์ จุฬาลงกรณ์มหาวิทยาลัย

## บทคัดย่อ

**วัตถุประสงค์** เพื่อศึกษาผลของเครื่องขยายเสียง 3 ชนิด ที่มีความเข้มแสงต่างกันต่อความแข็งแรงของพันธะเจือในช่วงแรกของวัสดุยึดติดทางทันตกรรมจัดฟันชนิดหนึ่ง

**วัสดุและวิธีการ** เตรียมพื้นที่ห้องน้ำอยู่บนจำนวน 60 ซี. แบ่งเป็น 4 กลุ่ม ๆ ละ 15 ซี. เตรียมผ้าพันด้วยผงพนมมิช และกรดฟอสฟอริก 30 วินาที ล้างน้ำและเป่าให้แห้งนำแบร์กเกตติดคลงบนผิวฟันด้วยวัสดุยึดติดชนิดบ่มด้วยแสง โดยกลุ่มที่ 1 เครื่องขยายเสียงยาโลเจน (เดเมตระอน แอลซี) 410 มิลลิวัตต์/ตารางเซนติเมตร 20 วินาที (กลุ่มควบคุม) กลุ่มที่ 2 เครื่องขยายเสียงแอลอีดี (เดเมตระอน เอทู) 1,140 มิลลิวัตต์/ตารางเซนติเมตร 20 วินาที กลุ่มที่ 3 เครื่องขยายเสียงแอลอีดีชนิดเดียวกับกลุ่มที่ 2 1,140 มิลลิวัตต์/ตารางเซนติเมตร 6 วินาที และกลุ่มที่ 4 เครื่องขยายเสียง แอลอีดี (วาโล) 2,230 มิลลิวัตต์/ตารางเซนติเมตร 6 วินาที นำตัวอย่างทั้งหมดไปวัดค่าความแข็งแรงของพันธะเจือนหลังการขยายเสียง 4 นาที ด้วยเครื่องทดสอบหากาลเบรย์บีต่ำกว่าเฉลี่ยของความแข็งแรงพันธะเจือนในแต่ละกลุ่ม โดยใช้การวิเคราะห์ทางสถิติค่าความแปรปรวนแบบทางเดียววัดค่าดัชนีการเหลืออยู่ของวัสดุยึดติดและทดสอบด้วยค่าทางสถิติโคสแควร์ที่ระดับความเชื่อมั่น้อยละ 95

**ผลการศึกษา** ค่าเฉลี่ยและค่าเบี่ยงเบนมาตรฐานของความแข็งแรงของพันธะเจือนกลุ่มที่ 1 2 3 และ 4 เท่ากับ  $4.76 \pm 0.99$   $5.35 \pm 1.47$   $3.98 \pm 1.07$  และ  $5.69 \pm 1.11$  เมกะปascal ตามลำดับ โดยค่าเฉลี่ย ความแข็งแรงของพันธะเจือน กลุ่มที่ 2 และ 4 มีค่ามากกว่ากลุ่มที่ 3 อย่างมีนัยสำคัญทางสถิติ และพบว่า ค่าดัชนีการเหลืออยู่ของวัสดุยึดติดในแต่ละกลุ่มไม่แตกต่างกันอย่างมีนัยสำคัญทางสถิติ

**สรุป** การบ่มด้วยเครื่องขยายเสียงแอลอีดี (วาโล) 2,230 มิลลิวัตต์/ตารางเซนติเมตร 6 วินาที ให้ความแข็งแรงของพันธะเจือนไม่แตกต่างจากการบ่มด้วยเครื่องขยายเสียงยาโลเจน (เดเมตระอน แอลซี) 410 มิลลิวัตต์/ตารางเซนติเมตร 20 วินาที และเครื่องขยายเสียงแอลอีดี (เดเมตระอน เอทู) 1,140 มิลลิวัตต์/ตารางเซนติเมตร 20 วินาที

(วันที่ จุฬาฯ 2557;37:149-60)

**คำสำคัญ:** ความแข็งแรงของพันธะ; แบร์กเกต; ระยะเวลาขยายเสียง

## บทนำ

วิธีการติดเบร็กเกตเข้ากับผิวฟันโดยตรง (direct bonding) ได้ถูกนำมาใช้ในทางทันตกรรมจัดฟัน ตั้งแต่ ปี 1965 โดย Newman<sup>1</sup> โดยการใช้กรดกัดผิวเคลือบฟันเพื่อให้เกิดรูพรุน (porosity) และทาสารไพรเมอร์ (primer) เพื่อช่วยในการยึดติดและเพื่อเพิ่มพื้นที่ในการยึดติดของวัสดุยึดติด การยึดติดของวัสดุยึดติดเป็นการยึดติดทางกล (mechanical retention) ต้องมีความแข็งแรงของพันธะที่มากเพียงพอในการใช้งานทางคลินิกในช่วง 5.88 ถึง 7.85 เมกะปาสคัล<sup>2</sup> ในปัจจุบันวัสดุเรซิโนนิดบ่มด้วยแสง (light-cure bonding diacrylate resin) เป็นระบบสารยึดติดที่เป็นที่นิยมที่สุดของทันตแพทย์จัดฟัน<sup>3</sup> การใช้เรซิโนนคอมโพลิสิตที่บ่มปฏิกิริยาด้วยแสงที่ตามองเห็นมีข้อดีเหนือชนิดบ่มปฏิกิริยาด้วยสารเคมี ได้แก่ เป็นการใช้งานระบบไม่ผสม (no mix) ควบคุมเวลาการทำงาน ได้เรื่องต่อการจัดวางแผนสำหรับเบร็กเกต และสามารถกำจัดส่วนเกินรอบฐานเบร็กเกตออกได้เพื่อไม่ให้เป็นที่สะสมของเชื้อราหารและแผ่นคราบจุลินทรีย์<sup>4</sup>

การบ่มปฏิกิริยา (polymerization) ของวัสดุเรซิโนนิดบ่มด้วยแสง มีสารตั้งต้นปฏิกิริยาไวแสง (photoinitiator) เป็นสารจำพวกไดคิโนน (diketone) ที่นิยมใช้ ได้แก่ แคมฟอร์โคโรควินน (camphorquinone)<sup>5</sup> ซึ่งสามารถดูดซับ (absorption) แสงในช่วงที่ตามองเห็น (visible light) ที่ 410 ถึง 500 นาโนเมตร<sup>6</sup> ทำปฏิกิริยากับสารรีดิวชิงเอมีน (amine reducing agent) ได้สารอนุมูลิสระ (free radical) และทำให้เกิดกระบวนการบ่มตัว ชนิดแหล่งกำเนิดแสงของเครื่องฉายแสงที่ใช้ในทางทันตกรรมปัจจุบัน ได้แก่ แหล่งกำเนิดแสงฮาโลเจน (halogen lamp) แสงอาร์กอนเลเซอร์ (argon laser light) แสงพลาสมาร์ค (plasma arc light) และแหล่งกำเนิดแสงแอลอีดี: ไลท์อีมิตทิงไดโอด (light emitting diode: LED)<sup>5-9</sup>

แหล่งกำเนิดแสงฮาโลเจน เป็นที่นิยมใช้ทั่วไปในการบ่มวัสดุเรซิโนนคอมโพลิสิต แสงจากหลอดฮาโลเจนเกิดจากการได้รับพลังงานไฟฟ้าเข้ากระตุ้นลดลงทั้งสเตนให้มีอุณหภูมิสูงขึ้น<sup>10</sup> อายุการใช้งานได้ไม่ต่ำกว่า 10,000 ชั่วโมง อย่างไรก็ตามหลอดฮาโลเจนนั้นมีข้อเสียหลายอย่าง เช่น พลังงานแสงที่ปล่อยออกมากเมื่อค่าน้อยกว่าร้อยละ 1 ของพลังงานไฟฟ้าที่รับเข้าไป อายุการใช้งานที่จำกัดประมาณ 100 ชั่วโมง เนื่องจากการเสื่อมของหลอดจากความร้อนที่เกิดขึ้น<sup>6,11-13</sup> โดยทั่วไปแล้วแสงฮาโลเจนใช้เวลา 20 วินาทีในการบ่มปฏิกิริยาของวัสดุเรซิโนนคอมโพลิสิต ในการยึดติด

เบร็กเกต 1 ตัว<sup>14</sup> เนื่องจากต้องการลดระยะเวลาในการฉายแสงจึงมีการผลิตเครื่องฉายแสงฮาโลเจนที่สามารถปล่อยแสงที่มีความเข้มสูงมากกว่า 1,000 มิลลิวัตต์/ตารางเซนติเมตร เช่น ออพติลักซ์ (Optilux 501) หรือ เดเมตรอน (Demetron, Kerr, Orange, California, USA)<sup>15</sup> ซึ่งสามารถลดเวลาการฉายแสงลงได้กว่าครึ่งหนึ่งของเครื่องฉายแสงในรุ่นก่อน แต่ระบบการกรองแสงและการควบคุมอุณหภูมิยังคงเป็นปัญหาที่ทำให้การพัฒนาของระบบแสงฮาโลเจนเป็นไปได้ยาก<sup>10</sup>

แสงอาร์กอนเลเซอร์ ให้ระดับความเข้มแสง 700–1,000 มิลลิวัตต์/ตารางเซนติเมตร ในช่วงความยาวคลื่นแสงประมาณ 480 นาโนเมตร อาร์กอนเลเซอร์สามารถลดระยะเวลาในการฉายแสงลงเหลือเพียง 5 วินาที สำหรับวัสดุเรซิโนนที่ไม่มีสารเติม (unfilled resin) และ 10 วินาที สำหรับวัสดุเรซิโนนที่มีสารเติม (filled resin) จากการศึกษาพบว่าเมื่อฉายแสงด้วยอาร์กอน เลเซอร์ 5 วินาที ให้ค่าความแข็งแรงการยึดอยู่เทียบเท่าแสงฮาโลเจน<sup>16</sup> แต่ไม่เป็นที่นิยมใช้อย่างกว้างขวางเนื่องจากราคาที่สูงและความยุ่งยากในการพกพา

แสงพลาสมาร์ค ได้หลอดประจุบด้วยแอโนเดทที่ทำจากหังสตeten และแค็国度เป็นคุวอทซ์ ภายในหลอดบรรจุด้วยก๊าซชีน่อน (xenon) เมื่อได้รับกระแสไฟฟ้าผ่านชีน่อน ก๊าซจะเกิดการแตกประจุ (ionized) เกิดเป็นแสงสีขาว ซึ่งจะผ่านการกรองให้เป็นแสงสีฟ้าในช่วงความยาวคลื่นแสง 430–490 นาโนเมตร พลาสมาร์คให้ค่าความเข้มแสงที่สูงมาก คือ 1,600–2,230 มิลลิวัตต์/ตารางเซนติเมตร มีอายุการใช้งาน 5,000 ชั่วโมง ข้อดีเหนือหลอดฮาโลเจน คือ สามารถลดเวลาการฉายแสงลงได้เหลือเพียง 3–5 วินาที โดยไม่มีผลต่ออัตราการล้มเหลวในการยึดติดเบร็กเกต (bond failure) จากการศึกษาการใช้แสงพลาสมาร์คเมื่อฉาย 5 และ 10 วินาที ใน การบ่มปฏิกิริยาวัสดุยึดติด พบว่าให้ค่าความแข็งแรงพันธะเฉือนไม่ต่างจากการใช้แสงฮาโลเจนเมื่อฉาย 20 วินาที<sup>17</sup> อายุการใช้งานพลาสมาร์คยังไม่เป็นที่นิยมเมื่อเทียบกับฮาโลเจนเนื่องจากราคาที่สูงกว่า

แหล่งกำเนิดแสงแอลอีดี เป็นแหล่งกำเนิดแสงล่าสุดที่มีการแนะนำให้ใช้ในปัจจุบัน เพื่อลดปัญหาจากการใช้แสงจากหลอดฮาโลเจน เช่น ปัญหารังสีอินฟราเรด ความร้อนที่เกิดขึ้นขณะฉายแสง และรังสีอัลตราไวโอเลตส่วนเกิน ปัญหาการเสื่อมของหลอด ตัวกรองแสงและตัวนำแสง ได้โดยเป็นสารกึ่งตัวนำจำพวกไดโอดที่ส่วนใหญ่ประกอบด้วยแกลเลียม

ไนโตรด (gallium nitride LEDs) สามารถปล่อยแสงโดยกระบวนการที่เรียกว่า อิเล็กโทรลูมินิเซนซ์ (electroluminescence) แสงที่เปล่งออกมายุ่งในช่วงสเปกตรัมที่ตอบในช่วงความยาวคลื่นแสงที่มองเห็นได้ (visible spectrum)<sup>10</sup> ข้อดีเหนือหลอดไฮโลเจน<sup>6</sup> ได้แก่ หลอดได้โดยมีอายุการใช้งานที่มากกว่า 10,000 ชั่วโมงและมีการเตือนภัยของแสงน้อยตลอดอายุการใช้งาน สามารถออกแบบให้มีรูปทรงที่กระหัตตัด สะดวกต่อการใช้งาน นอกจากนี้แหล่งกำเนิดแสงแอลอีดียังไม่ต้องอาศัยตัวรองแสง และใช้กำลังน้อยในการปฏิบัติงาน ดังนั้นจึงสามารถใช้แบบเตอร์รีแบบชาร์จใหม่ได้หลายครั้ง (rechargeable batteries) ทำให้สามารถออกแบบรูปทรง ลักษณะให้มีความกะทัดรัด สะดวกต่อการใช้งานและมีน้ำหนักเบา เช่น เอลิปาร์ ฟรีไลท์ (Elipar Freelight, 3M/ESPE) เป็นต้น<sup>18</sup> แหล่งกำเนิดแสงแอลอีดีรุ่นใหม่ที่มีความเข้มแสงสูงมากขึ้น โดยบริษัทผู้ผลิตอ้างว่าสามารถลดเวลาการฉายแสงระหว่างขั้นตอนการติดแบร์กเกตลงได้ และยังคงคุณสมบัติที่ดีเหมือนในรุ่นก่อนได้ เช่น ออธอลักซ์ แอลอีดี (Ortholux LED 3M/Unitek) ที่บริษัทผู้ผลิตแนะนำว่าสามารถฉายแสง 10 วินาทีสำหรับแบร์กเกตโลหะ และ 5 วินาทีสำหรับแบร์กเกตเซรามิก<sup>15</sup> ปัจจุบันมีการผลิตแหล่งกำเนิดแสงแอลอีดีที่มีความเข้มแสงสูงถึง 2,000–3,000 มิลลิวัตต์/ตารางเซนติเมตร ซึ่งผู้ผลิตอ้างว่าความเข้มแสงที่สูงขึ้นสามารถลดเวลาการฉายแสงโดยไม่มีผลต่อความเข็มแรงของพันธะ (bond strength) เช่น เครื่องฉายแสงมินิ แอลอีดี ชูปเปอร์ชาร์จ (Mini LED™ Supercharge, ACTEON group, Merinac, France) ที่มีความเข้มแสงถึง 2,200 มิลลิวัตต์/ตารางเซนติเมตร ซึ่งบริษัทผู้ผลิตแนะนำว่าสามารถบ่มเรซิโน่คอมโพสิตได้ภายใน 3 วินาที เป็นต้น<sup>19</sup>

มีหลายการศึกษาที่อนหน้าที่ศึกษาถึงผลของการเข็มแสงและระยะเวลาการฉายแสงที่มีต่อความแข็งแรงในการยึดติดแบร์กเกต พ布ว่าความเข้มแสงที่สูงขึ้นมีผลทำให้ความเข็งแรงพันธะเฉือน (shear bond strength) มีค่าสูงขึ้น<sup>20,21</sup> และพ布ว่าความเข็งแรงพันธะเฉือนเพิ่มขึ้นเมื่อเพิ่มระยะเวลาฉายแสง<sup>5,14,18,22</sup> อุปกรณ์ตามการศึกษาส่วนใหญ่เป็นการศึกษาค่าความเข็งแรงพันธะเฉือนภายหลังจากการบ่มตัว 24 ชั่วโมง เมื่อกำเนิดการใช้งานทางคลินิกที่ทันตแพทย์จัดพันธะต้องใส่ลวดโค้งทันทีหลังจากติดเครื่องมือเสร็จแล้ว ข้อมูลความเข็งแรงพันธะเฉือนในช่วงแรก (initial shear bond strength) ยังมีอยู่น้อย ในการศึกษาครั้งนี้มีวัตถุประสงค์เพื่อศึกษาผลของความเข้มแสงที่ต่างกันของเครื่องฉายแสง

แอลอีดี 2 ชนิด รวมถึงผลของระยะเวลาในการฉายแสงที่มีต่อความแข็งแรงของพันธะเฉือนในช่วงแรกของแบร์กเกต และผิวเคลือบพัน

## วัสดุและวิธีการ

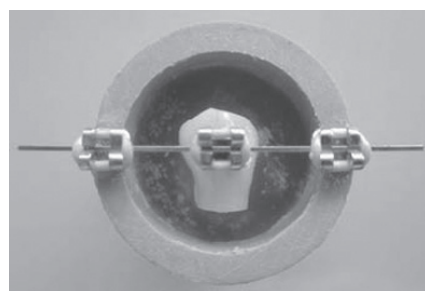
ในการศึกษาครั้งนี้ใช้พัฒนาระบบพันน้อยจำนวน 60 ชิ้น ที่ถูกดูดอนออกเพื่อการจัดพัน และเลือกพันที่มี สภาพผิวพันที่สมบูรณ์ ดูจากลักษณะพื้นผิวที่เรียบ ไม่มีรอยร้าว สีของพัน มีลักษณะที่ปกติ โดยเก็บไว้ใน สารละลายที่มอคลความเข้มข้น ร้อยละ 0.5 เติมพันโดยตัดรากพันออกด้วยเครื่องตัดพัน ความเร็วต่ำ (low speed cutting machine; ISOMET 1000, Buehler®, USA) กำหนดให้พันที่ทำการตัดรากแล้วต้องมีความยาวของรากประมาณ 5 มิลลิเมตร โดยวัดจากรอยต่อระหว่างเคลือบพันและเคลือบรากพัน จากนั้นเตรียมพันเพื่อการทดลองโดยนำพันตัวอย่างมาหุ้มด้านใกล้แก้มด้วยแผ่นฟิล์มใสติดแบร์กเกตด้วยวัสดุดูดยึดเรซิโน่บ่มด้วยแสง (ไม่มีขั้นตอนทากัดและการทำทابคอนดิง) จ่ายแสงทิศทางด้านบดเคี้ยวและใกล้เหงือก ด้านละ 10 วินาที ทำการยึดซีพันลงในท่อพลาสติกพีวีซีขนาดเส้นผ่านศูนย์กลาง 21 มิลลิเมตร ความยาว 1 นิ้ว ด้วยอะคริลิกชนิดบ่มด้วยตัวเอง (self-cure acrylic) โดยใช้วัววนนำ (guide wire) (รูปที่ 1) เมื่อได้ชิ้นงานเพื่อการทดลองที่ยึดลงในท่อพลาสติกพีวีซีแล้วแกะเอาแผ่นฟิล์มใสและแบร์กเกตออก แบ่งพันที่ได้ออกเป็น 4 กลุ่ม กลุ่มละ 15 ชิ้น เตรียมผิวพันเพื่อติดแบร์กเกตในทั้ง 4 กลุ่มดังนี้ ขัดด้วยผงพัมมิซ (pumice) ล้างออก ด้วยน้ำสะอาด แล้วเป่าให้แห้งโดยใช้ทริปเปิลไซริงค์ (triple syringe) ทาก gord ฟอสฟอริกความเข้มข้นร้อยละ 37 (Etchant liquid; Reliance Orthodontic Product, Inc., Itasca, IL, USA) ที่ผิวพันเป็นเวลา 30 วินาที ล้างด้วยน้ำสะอาด 10 วินาที และเป่าให้แห้งด้วยทริปเปิลไซริงค์ จากนั้น ทาสารไฟรเมอร์ (Transbond™ XT Light Cure Adhesive Primer, 3M Unitex, Monrovia, CA, USA) ลงบนผิวพัน จากนั้นทำการยึดติดแบร์กเกตโดยบีบวัสดุดูดติดชนิดบ่มด้วยแสง (Transbond™ XT Light Cure Adhesive Paste, 3M Unitex, Monrovia, CA, USA) ลงบนฐานแบร์กเกต (Dyna-Lock™, Standard Edgewise Bracket, 3M Unitex, Monrovia, CA, USA) ขนาด 15.25 ตารางมิลลิเมตร เกลี่ยให้มีความหนาสามมิลลิเมตร นำมากดลงบนตำแหน่งกึ่งกลางพัน ที่เตรียมไว้โดยทำการซ้อมกดโดยผู้ทดลองคนเดียวกัน และ

กดแบร์กเกตให้แนบกับผิวฟันมากที่สุด แล้วเขี่ยวัสดุติดยึดโดยรอบออกโดยไม่มีการขยับของแบร์กเกต จากนั้นข่ายแสงห่างจากแบร์กเกต 1 มิลลิเมตร โดยหน้าตัดของแนวนำเสนอตั้งจากกับระนาบแบร์กเกตด้านแก้มของผิวฟัน ด้วยเครื่องข่ายแสงต่างชนิดกัน ในกลุ่มทั้ง 4 กลุ่ม ดังนี้ กลุ่มที่ 1 ข่ายแสงด้วยเครื่องข่ายแสงขาโลจิเจนเดเมตرون แอลซี (Demetron LC<sup>TM</sup>, Kerr Corp, Orange, CA, USA) ข่ายแสงด้านบดเคี้ยวและไกล์เหงือกเป็นเวลาด้านละ 10 วินาที (กลุ่มควบคุม) กลุ่มที่ 2 ข่ายแสงด้วยเครื่องข่ายแสงแอลอีดีเดเมตرون เอทู (Demetron A.2<sup>TM</sup>, Kerr Corp, Orange, CA, USA) ข่ายแสงด้านบดเคี้ยวและไกล์เหงือกเป็นเวลาด้านละ 10 วินาที กลุ่มที่ 3 ข่ายแสงด้วยเครื่องข่ายแสงแอลอีดีเดเมตرون เอทู (Demetron A.2<sup>TM</sup>, Kerr Corp, Orange, CA, USA) ข่ายแสงด้านบดเคี้ยวและไกล์เหงือกเป็นเวลาด้านละ 3 วินาที กลุ่มที่ 4 ข่ายแสงด้วยเครื่องข่ายแสงแอลอีดีวาโล (Valo, Ultradent, South Jordan, UT, USA) ข่ายแสงด้านบดเคี้ยวและไกล์เหงือกเป็นเวลาด้านละ 3 วินาที

เครื่องข่ายแสงทุกเครื่องได้ผ่านการวัดความเข้มแสง (Bluephase<sup>®</sup> meter, Ivoclar Vivadent Inc., Pineview Drive, Amherst, NY, USA) โดยวัดค่าความเข้มแสงตามคำแนะนำของผู้ผลิตทั้งหมด 3 ครั้ง และนำค่าที่ดีที่สุดมาคำนวณถี่ความเข้มแสงของเครื่องข่ายแสงแต่ละเครื่อง ดังนี้ เครื่องข่ายแสงที่มีแหล่งกำเนิดแสงชนิดแสงขาโลจิเจนเดเมตرون แอลซี (Demetron LC<sup>TM</sup>, Kerr Corp, Orange, CA, USA) ความเข้มแสง 410 มิลลิวัตต์/ตารางเซนติเมตร เครื่องข่ายแสงแอลอีดีเดเมตرون เอทู (Demetron A.2<sup>TM</sup>, Kerr Corp, Orange, CA, USA) ความเข้มแสง 1,140 มิลลิวัตต์/ตารางเซนติเมตร และเครื่องข่ายแสงแอลอีดีวาโล (Valo, Ultradent, South Jordan, UT, USA) ความเข้มแสง 2,230

มิลลิวัตต์/ตารางเซนติเมตร เนื่องจากเครื่องข่ายแสงแอลอีดีเดเมตرون เอทู (Demetron A.2<sup>TM</sup>, Kerr Corp, Orange, CA, USA) ไม่มีระบบตั้งเวลาข่ายแสงที่ตั้งกว่า 10 วินาที และในการทดลองนี้จะต้องมีการข่ายแสงจากเครื่องดังกล่าวโดยใช้เวลา 3 วินาที ข่าย 2 ครั้ง ดังนั้นทางผู้ทำวิจัยจึงได้จัดทำเครื่องตั้งเวลาตัดไฟที่สามารถตัดไฟเพื่อตั้งเวลาข่ายแสงที่ 3 วินาที มาใช้ในการทดลองนี้

จากนั้นนำกลุ่มตัวอย่างไปทดสอบวัดความแข็งแรงของพันธะเชื่อมข่ายหลังการข่ายแสง 4 นาที โดยเครื่องทดสอบ sagitallimadatu (Universal Testing Machine, EZTest EZ-L/EZ-s Series, Shimadzu Corp., Kyoto, Japan) ในโหลดเซลล์ (load cell) 500 นิวตัน ความเร็วในการเคลื่อนที่ของโหลดเซลล์ 1 มิลลิเมตรต่อนาที ทิศทางใบมีดเคลื่อนลงในแนวเดียวกับแกนยาวของตัวฟัน (รูปที่ 2) บันทึกค่าความแข็งแรงของพันธะเชื่อมที่ทำให้แบร์กเกตหลุดออกจากผิวฟัน นำมาคำนวนหาค่าเฉลี่ยความแข็งแรงของพันธะเชื่อมและส่วนเบี่ยงเบนมาตรฐานแล้วทำการเปรียบเทียบระหว่างกลุ่มด้วยการใช้ค่าสถิติการวิเคราะห์ความแปรปรวนแบบทางเดียว (ANOVA) ที่ระดับความเชื่อมั่นร้อยละ 95 ตรวจสอบบริเวณที่เกิดความล้มเหลวในการยึดติดของแบร์กเกตในแต่ละชิ้นงาน ทำโดยการดูภาพถ่ายวัสดุติดยึดที่เหลืออยู่บนคลีบฟันซึ่งถ่ายด้วยกล้องจุลทรรศน์แบบสเตอโรไก (ML 9300, Meiji Techno Co., LTD., Saitama, Japan) โดยผู้ทดลองคนเดียวกันในทุกชิ้นงานแล้ววัดค่าดัชนีการเหลืออยู่ของวัสดุติด (Adhesive remnant index; ARI)<sup>23</sup> ตามเกณฑ์การให้คะแนน ดังนี้



รูปที่ 1 แสดงการใช้ลวดตัวนำเป็นแนวทางในการยึดฟันในอะคริลิก

Fig. 1 shows the guide wire for aligning tooth embedded in acrylic resin

- 1 หมายถึง วัสดุติดยึด และร้อยสูงของเบร๊กเกตติดอยู่บนเคลือบฟันทั้งหมด
  - 2 หมายถึง วัสดุติดยึดติดอยู่บนเคลือบฟันมากกว่าร้อยละ 90
  - 3 หมายถึง วัสดุติดยึดติดอยู่บนเคลือบฟันร้อยละ 10-90
  - 4 หมายถึง วัสดุติดยึดติดอยู่บนเคลือบฟันน้อยกว่าร้อยละ 10
  - 5 หมายถึง ไม่มีวัสดุติดยึดติดอยู่บนเคลือบฟันเลย
- เปรียบเทียบความแตกต่างโดยค่าสถิติโคสแคร์ (Chi square) ที่ระดับความเชื่อมั่นร้อยละ 95 โดยโปรแกรม สถิติเอกซ์เพรส (SPSS software, version 17)

## ผลการศึกษา

ค่าเฉลี่ยและค่าเบี่ยงเบนมาตรฐานของความแข็งแรงพันธะยึดแบบเชื่อนของทั้ง 4 กลุ่ม แสดงในตารางที่ 1 ในกลุ่มที่ 1, 2 และ 4 ไม่มีความแตกต่างกันอย่างมีนัยสำคัญในขณะที่กลุ่มที่ 3 มีค่าน้อยกว่ากลุ่มอื่นๆ อย่างมีนัยสำคัญ ( $p < 0.05$ ) ข้อมูลค่าตัวชี้วัดนี้การเหลืออยู่ของวัสดุติดยึดของทั้ง 4 กลุ่ม แสดงดังตาราง 2 จากสถิติการวิเคราะห์โคสแคร์ (Chi-square test) พบร่วมกันที่ไม่มีความแตกต่างอย่างมีนัยสำคัญทางสถิติที่ระดับความเชื่อมั่นร้อยละ 95



**รูปที่ 2** แสดงการทดสอบชิ้นงานด้วยเครื่องทดสอบสามากล แสดงทิศทางใบมีดเคลื่อนลงในแนวเดียวกับแกนยาวของตัวฟัน

**Fig. 2** shows the sample testing by the universal testing machine. The cutting blade direction is downward in the same plane as the tooth's long axis

**ตารางที่ 1** ค่าเฉลี่ยและค่าเบี่ยงเบนมาตรฐานของความแข็งแรงพันธะยึดแบบเชื่อนของทั้ง 4 กลุ่ม

**Table 1** Mean shear bond strength in megapascals (MPa) of adhesive between bracket and tooth surface in 4 groups

Group	Mean $\pm$ SD (MPa)
1	4.76 $\pm$ 0.99 <sup>a</sup>
2	5.35 $\pm$ 1.47 <sup>a</sup>
3	3.98 $\pm$ 1.07 <sup>b</sup>
4	5.69 $\pm$ 1.11 <sup>a</sup>

SD = standard deviation

Groups with different letters are significantly different ( $p < 0.05$ )

ตาราง 2 ค่าดัชนีการเหลืออยู่ของวัสดุติดยึดภายหลังการหลุดของแบร์กเกต

Table 2 Adhesive remnant index recorded after debonding

Adhesive	Groups			
	1	2	3	4
Scores				
1	1	1	1	1
2	12	10	11	13
3	2	3	2	0
4	0	1	1	1
5	0	0	0	0
	15	15	15	15

## วิจารณ์

ในการศึกษาครั้งนี้มีการใช้เครื่องฉายแสงที่มีแหล่งกำเนิดแสงที่แตกต่างกัน คือ แหล่งกำเนิดแสงข้าโลเจน และแหล่งกำเนิดแสงแอลอีดี จากการศึกษาที่อนหน้า พบร่วมนิคของแหล่งกำเนิดแสงที่แตกต่างกันไม่มีผลต่อความแข็งแรงของพันธะ Usumez และคณะ<sup>22</sup> ศึกษาการใช้แหล่งกำเนิดแสงแอลอีดีเอลิปาร์ ฟรีไลท์ (Elipar Freelite, 3M ESPE, Seefeld, Germany) ที่มีความเข้มแสง 400 มิลลิวัตต์/ตารางเซนติเมตร พบร่วมกับเครื่องฉายแสง 20 และ 40 วินาที มีความแข็งแรงพันธะเจือนไม่แตกต่างกับการฉายแสงด้วยหลอดไฟข้าโลเจนเอกสาร์แอล 3000 (XL 3000, 3M Dental Products, St Paul, Minn) ที่มีความเข้มแสง 550 มิลลิวัตต์/ตารางเซนติเมตร เป็นเวลา 40 วินาที และไม่พบความแตกต่างอย่างมีนัยสำคัญของค่า ARI score ระหว่างกลุ่ม ซึ่งส่วนใหญ่ทั้งหมดของวัสดุติดติดติดอยู่ที่ผิวน้ำยาหลังการยึดติดล้มเหลว Bishara และคณะ<sup>24</sup> ศึกษาเปรียบเทียบค่าความแข็งแรงพันธะเจือนจากการฉายแสงโดยใช้เครื่องฉายแสงข้าโลเจนօร์โคลักษ์ (Ortholux, 3M Unitek) ความเข้มแสง 400 มิลลิวัตต์/ตารางเซนติเมตร กับเครื่องฉายแสงแอลอีดีอัลตร้า

ลูม ทู (UltraLume 2, Ultradent USA, South Jordan, Utah) ความเข้มแสง 2,400 มิลลิวัตต์/ตารางเซนติเมตร เมื่อฉายแสงเป็นเวลา 20 วินาที และการศึกษาของ Dunn และ Taloumis<sup>5</sup> ที่ศึกษาการใช้เครื่องฉายแสงข้าโลเจนօร์โคลักษ์ 501 (Optilux 501, Kerr/Demetron Corp, Danbury, Conn) ความเข้มแสง 1,030 มิลลิวัตต์/ตารางเซนติเมตร และโปรไลท์ (ProLite, Dentsply/Caulk) ความเข้มแสง 400 มิลลิวัตต์/ตารางเซนติเมตร เปรียบเทียบกับเครื่องฉายแสงแอลอีดีลูมาคิริยา (LumaCure, LumaLite, Inc, Spring Valley, Calif) ความเข้มแสง 150 มิลลิวัตต์/ตารางเซนติเมตร และเวอร์ชาลักษ์ (VersaLux, Centrix, Shelton, Conn) ความเข้มแสง 150 มิลลิวัตต์/ตารางเซนติเมตร ฉายแสงนาน 40 วินาที โดยการศึกษาทั้งสองพบว่าค่าความแข็งแรงของพันธะเจือนจากแหล่งกำเนิดแสงแอลอีดีไม่มีความแตกต่างอย่างมีนัยสำคัญกับการฉายแสงจากแหล่งกำเนิดแสงข้าโลเจนเมื่อใช้เวลาฉายแสงเท่ากัน แสดงคล่องกับผลที่ได้จากการศึกษาครั้งนี้ที่พบว่าไม่มีความแตกต่างอย่างมีนัยสำคัญของความแข็งแรงของพันธะเจือน ในกลุ่ม 1 และ 2 ที่ฉายด้วยแหล่งกำเนิดแสงที่ต่างกันด้วยระยะเวลา 20 วินาทีเท่ากัน จากงานศึกษาที่กล่าวมา

ข้างต้นจะเห็นว่ามีหั้งที่ความเข้มแสงของแหล่งกำเนิดอาลูเจนที่ทั้งใกล้เดียง มากกว่า และน้อยกว่าแหล่งกำเนิดแออลอีดีและมีปัจจัยร่วมในเรื่องระยะเวลาที่อยู่ในช่วง 20-40 วินาทีที่เหมาะสมต่อการบ่มตัวของวัสดุเรซิโนที่ระดับที่มากเพียงพอในหั้งสองกลุ่มและทำให้เกิดความแข็งแรงในการยึดติดที่ไม่แตกต่างกันอย่างมีนัยสำคัญ ตามข้อเสนอจาก Silta และคณะ<sup>25</sup> ที่ว่าระยะเวลาฉายแสง (หั้งแหล่งกำเนิดอาลูเจนและแออลอีดีความเข้มแสงประมาณ 800-1000 มิลลิวัตต์/ตารางเซนติเมตร) อย่างน้อยที่ทำให้เกิดความแข็งแรงพันธะเฉือนในช่วงแรกของแบร์กเกตและผิวพื้นไม่แตกต่างกันในระยะเวลาการฉายแสงที่นานเพียงพอ

ผลของเครื่องฉายแสงที่มีความเข้มแสงแตกต่างกันต่อความแข็งแรงของพันธะการศึกษาครั้นนี้ พบว่า เมื่อใช้เครื่องฉายแสงที่มีความเข้มแสงที่เพิ่มขึ้นมีผลเพิ่มความแข็งแรงพันธะเฉือน โดยเปรียบเทียบในกลุ่มที่ 3 (เครื่องฉายแสงแออลอีดี 1,140 มิลลิวัตต์/ตารางเซนติเมตร 6 วินาที) กับกลุ่มที่ 4 (เครื่องฉายแสงแออลอีดี 2,230 มิลลิวัตต์/ตารางเซนติเมตร 6 วินาที) พบว่า กลุ่มที่ 4 ที่มีความเข้มแสงที่สูงกว่ามีอิทธิพลต่อการศึกษาของ Usumez และคณะ<sup>22</sup> ที่พบร่วมกับการศึกษาของ Niepraschk และคณะ<sup>31</sup> ที่ใช้เครื่องฉายแสง แออลอีดี 1,100 มิลลิวัตต์/ตารางเซนติเมตร 20 วินาที พบร่วมกับการศึกษาของ Staudt และคณะ<sup>20</sup> ที่ศึกษาการฉายแสงจากเครื่องฉายแสงอาลูเจนที่มีความเข้มแสงต่างๆ กันพบว่า ความแข็งแรงพันธะเฉือนเพิ่มขึ้นตามระดับความเข้มแสงของเครื่องฉายแสงซึ่งมีความสัมพันธ์กันตามโมเดลเอกซ์โพเนนเชียล โดยมีความแข็งแรงพันธะเฉือนอิ่มตัวที่ความเข้มแสง 4000 มิลลิวัตต์/ตารางเซนติเมตร และการศึกษาของ Mavropoulos และคณะ<sup>21</sup> ศึกษาพบค่าความแข็งแรงพันธะเฉือนเพิ่มขึ้นตามระดับความเข้มแสงของเครื่องฉายแสง โดยความเข้มแสงที่มากสุดที่มีประไชน์ของเครื่องฉายแสง คือ 3000 มิลลิวัตต์/ตารางเซนติเมตร

จากการศึกษาครั้นนี้ กลุ่มที่ 2 (เครื่องฉายแสงแออลอีดี 1,140 มิลลิวัตต์/ตารางเซนติเมตร 20 วินาที) ให้ค่าความแข็งแรงพันธะเฉือนไม่แตกต่างจากกลุ่มที่ 4 (เครื่องฉายแสงแออลอีดี 2,230 มิลลิวัตต์/ตารางเซนติเมตร 6 วินาที) แสดงให้เห็นว่าความเข้มแสงที่สูงกว่าสามารถทำให้เกิดค่าความแข็งแรงพันธะเฉือนที่เพิ่มขึ้น และเมื่อฉายแสงในเวลาที่น้อยกว่าสามารถให้ค่าความแข็งแรงพันธะเฉือนที่ไม่แตกต่างกัน

เบื้องมาจากการเข้มของแสงที่มากขึ้น ในกลุ่มที่ 4 ทำให้กระบวนการตัดรายการเกิดปฏิกิริยาบ่มตัว (polymerization) ได้มากขึ้น โดยเมื่อบริมาณของอนุภาคโฟโตน (photons) เพิ่มขึ้น ไม่เฉพาะของแคมฟอโรคิวโนนซึ่งเป็นสารตั้งต้นปฏิกิริยาไวแสง (photoinitiator) จึงถูกกระตุ้นมากขึ้น ทำปฏิกิริยากับสารเอมีน (amine reducing agent) จนกระทั่งเกิดเป็นอนุผลอิสระและเกิดปฏิกิริยาบ่มตัวในที่สุด<sup>26</sup> อย่างไรก็ตาม มีการศึกษาส่วนหนึ่งที่ระบุว่าความเข้มแสงที่สูงขึ้น ก่อให้เกิดการหดตัวของเรซิโนที่ระหง่าน (contraction strain) ระหว่างกระบวนการบ่มตัวที่มีผลทำให้ความแข็งแรงของพันธะเฉือนลดลงได้<sup>27-30</sup>

ผลของระยะเวลาการฉายแสงที่มีต่อความแข็งแรงของพันธะ การศึกษาที่ก่อนหน้าพบว่า เมื่อระยะเวลาการฉายนานขึ้นจะมีผลให้ค่าความแข็งแรงการยึดติดเพิ่มขึ้นด้วย การศึกษาของ Niepraschk และคณะ<sup>31</sup> ที่ใช้เครื่องฉายแสง แออลอีดี 1,100 มิลลิวัตต์/ตารางเซนติเมตร 20 วินาที พบร่วมกับการฉายแสงแออลอีดี 20 วินาที มีค่าระดับการบ่มตัวของวัสดุยึดติดเรซิโนสูงกว่าฉาย 10 วินาที อย่างมีนัยสำคัญ สอดคล้องกับการศึกษาของ Usumez และคณะ<sup>22</sup> ที่พบร่วมกับการศึกษาของพันธะเฉือนมีค่าลดลงอย่างมีนัยสำคัญ เมื่อฉายแสงด้วยแออลอีดีที่มีความเข้มแสง 400 มิลลิวัตต์/ตารางเซนติเมตรใช้เวลา 10 วินาที เมื่อเทียบกับใช้เวลา 20 วินาที และ 40 วินาที และการศึกษาของ Mavropoulos และคณะ<sup>21</sup> ที่พบร่วมกับการศึกษาของ Ortholux LED ที่มีความเข้มแสง 1,000 มิลลิวัตต์/ตารางเซนติเมตร 5 วินาที แต่ไม่แตกต่างกับกลุ่มควบคุมที่ฉายแสงด้วยเครื่องฉายแสงอาลูเจนของ Optilux<sup>TM</sup> 501 (Optilux<sup>TM</sup> 501) ฉายนาน 40 วินาที เมื่อฉาย 10 วินาที สอดคล้องกับการศึกษาครั้นนี้ที่พบร่วมกับกลุ่มที่ 2 และ 3 ที่ใช้เครื่องฉายแสงชนิดเดียว (Demetron A.2<sup>TM</sup>, Kerr Corp, Orange, CA, USA) ความเข้มแสง 1,140 มิลลิวัตต์/ตารางเซนติเมตร แต่ฉายแสงเป็นเวลาต่างกัน พบว่า กลุ่มที่ 3 ที่ฉายแสงเวลา 6 วินาที พบร่วมกับค่าความแข็งแรงของพันธะเฉือนมีค่าต่ำกว่าอย่างมีนัยสำคัญ อาจเนื่องมาจากการฉายแสงที่น้อยกว่าทำให้เกิดระดับการบ่มตัวที่ต่ำกว่าแตกต่างจากการศึกษาของ Rego และ Romano<sup>32</sup> ที่ศึกษาโดยใช้เครื่องฉายแสงของโอลักซ์ แออลอีดี (Ortholux LED, 3M Unitek, Monrovia, CA., USA) ที่มีความเข้มแสง 1000 มิลลิวัตต์/ตารางเซนติเมตร พบร่วมกับการศึกษาของ Usumez และคณะ<sup>22</sup> ที่มีความเข้มแสง 5 10 และ 40 วินาที ไม่มีความแตกต่างอย่างมีนัยสำคัญของความแข็งแรงพันธะเฉือนกับการฉายด้วยเครื่องฉายแสงอาลูเจนเอกซ์โพน 1500 (XL1500, 3M Unitek,

Monrovia, CA, USA) ที่มีความเข้มแสง 600 มิลลิวัตต์/ตารางเซนติเมตร เมื่อฉายแสง 40 วินาที โดยการทดสอบความแข็งแรงพันธะเฉือนทำหลังจากที่ติดแล้วเป็นเวลา 24 ชั่วโมง

ระยะเวลาหลังจากการยึดติดแบร์กเกตก่อนนำไปทดสอบวัดความแข็งแรงของพันธะเฉือนในการทดลองนี้ 24 นาที เนื่องจากต้องการทดสอบให้คล้ายกับสภาพที่เป็นจริงในคลินิกที่หันตแพทย์จัดฟันมักจะใส่ลวดโค้งหันทีหลังจากติดแบร์กเกตเสร็จแล้ว Reynolds<sup>2</sup> เสนอว่า ค่าความแข็งแรงของพันธะเฉือนที่เพียงพอในการใช้งานทางคลินิกของแบร์กเกตทางหันตกรรมจัดฟัน ควรมีระหว่าง 5.88 ถึง 7.85 เมกะปascal ในการศึกษานี้ พบว่า มีกลุ่มที่ 4 เท่านั้นที่มีค่าความแข็งแรงของพันธะเฉือนอยู่ในระดับดังกล่าว โดยที่กลุ่มอื่นๆ มีค่าเฉลี่ยของค่าความแข็งแรงของพันธะเฉือนต่ำกว่าค่าที่ควรเป็น แต่อย่างไรก็ตามค่าความแข็งแรงของพันธะเฉือนของกลุ่มที่ 1 และ 2 ที่ต่ำกว่านั้นก็ไม่มีความแตกต่างอย่างมีนัยสำคัญกับกลุ่มที่ 4 ค่าความแข็งแรงพันธะเฉือนที่วัดได้ต่ำนั้นอาจเนื่องมาจากการทดสอบค่าความแข็งแรงพันธะเฉือนในช่วงแรก ซึ่งมีเด่นมากความว่าค่าความแข็งแรงที่วัดได้นั้นไม่เพียงพอในการใช้งานทางคลินิก เนื่องจากค่าความแข็งแรงพันธะเฉือนมีแนวโน้มเพิ่มสูงขึ้นตามระยะเวลาการศึกษาของ Tavas และ Watts 1984<sup>33</sup> ที่พบว่าค่าความแข็งแรงพันธะเฉือนที่เวลาหลังจากบ่มตัว 5 นาที มีค่าน้อยกว่าที่เวลาหลังจากบ่มตัว 24 ชั่วโมงอย่างมีนัยสำคัญ โดยพบว่าค่าความแข็งแรงพันธะเฉือนที่เวลาบ่มตัว 5 นาที มีค่าร้อยละ 60-70 ของหลังจากบ่มตัว 24 ชั่วโมง และการศึกษาของ Oesterle และคณะ<sup>34</sup> ที่แนะนำว่า ควรใส่ลวดโค้งภายหลัง 5 นาที เนื่องจากค่าความแข็งแรงของพันธะเฉือนจะเพิ่มขึ้นอย่างมีนัยสำคัญหลังจากฉายแสงเป็นเวลา 5 นาที อย่างไรก็ตามค่าความแข็งแรงพันธะเฉือนในการทดลองครั้งนี้มีค่าใกล้เคียงกับการศึกษาของ Nisalak และคณะ<sup>35</sup> ที่ทดสอบค่าแรงยึดตื้นเริ่มแรก (initial tensile bond strength) ในวัสดุยึดติดทางหันตกรรมจัดฟันชนิดบ่มด้วยแสงที่มีชื่อการค้าต่างๆ กัน (Enlight, Transbond XT, and Transbond XT + Transbond Plus Self Etching Primer) เบอร์ยูไนเต็ดบันวัสดุชนิดบ่มเมืองยูนิต (Unite, 3M Unitek, USA) โดยวัดค่าแรงยึดตื้นของวัสดุบ่มด้วยแสงที่นาทีที่ 2 3 4 และ 24 ชั่วโมง หลังการยึดติดแบร์กเกต พบร่วมค่าแรงยึดตื้นเริ่มแรกของวัสดุบ่มด้วยแสงที่นาทีที่ 2 3 และ 4 ที่วัดได้นั้นเพียงพอในการทนต่อแรงที่จะได้รับจากการใส่ลวดในช่วงแรก

และไม่มีความแตกต่างกันอย่างมีนัยสำคัญ จึงแนะนำว่าหันตแพทย์จัดฟันสามารถใส่ลวดโค้งภายหลังการฉายแสงอย่างน้อย 2 นาที เพื่อลดโอกาสเกิดการยึดติดล้มเหลว

ค่าดัชนีการเหลืออยู่ของวัสดุติดยึดภายนอกหลังการหันตแพทย์จัดฟันที่แสดงถึงปริมาณที่มีการยึดติดล้มเหลวของวัสดุติดยึด ในทางหันตกรรมจัดฟันคุณสมบัติของวัสดุติดยึดที่พึงประสงค์ คือ มีความแข็งแรงและการยึดติดที่เพียงพอโดยในขณะที่เมื่อออกเครื่องมือ (debond) มีวัสดุยึดติดเหลือบนผิวฟันน้อยที่สุด เพื่อให้สามารถกำจัดวัสดุติดยึดออกจากผิวฟันได้ง่าย<sup>36</sup> O'Brien และคณะ<sup>37</sup> กล่าวว่า มีปัจจัยต่างๆ ที่มีผลต่อค่าดัชนีการเหลืออยู่ของวัสดุติดยึด (Adhesive Remnant Index; ARI score) ได้แก่ วิธีการทดสอบแบร์กเกต ลักษณะฐานของแบร์กเกต และชนิดของวัสดุติดยึดเป็นต้น ในการทำลองครั้งนี้ เมื่อแบร์กเกตหลุดพบว่า ค่าดัชนีดังกล่าว เท่ากับ 2 เป็นส่วนใหญ่ (วัสดุติดยึดติดอยู่บนเคลือบฟัน มากกว่าร้อยละ 90) แสดงให้เห็นถึงพันธะยึดติดที่ไม่แข็งแรงระหว่างฐานแบร์กเกตและวัสดุเรซิโน่คอมโพสิต ซึ่งอาจเกิดจากการกัดปฏิกิริยากรอบปั๊มน้ำช่วงแรกที่ไม่สมบูรณ์ ของวัสดุเรซิโน่คอมโพสิตได้ฐานแบร์กเกต ในขณะที่มีการยึดติดที่มีความแข็งแรงมากเพียงพอของวัสดุติดยึดกับผิวฟัน และรูปแบบความล้มเหลวในการยึดติดในทุกกลุ่มทดลองไม่มีความแตกต่างอย่างมีนัยสำคัญ สอดคล้องการศึกษาของ Usumez และคณะ<sup>22</sup> ที่ใช้เครื่องฉายแสงต่างชนิดกัน พบร่วมปริมาณที่เกิดการยึดติดล้มเหลวเกิดที่บริเวณระหว่างฐานแบร์กเกตและวัสดุยึดติดเหมือนกันทั้งในกลุ่มที่ฉายแสงยาโลจีนและกลุ่มที่ฉายแสงแอลอฟอีดี และ การศึกษาของ Nisalak และคณะ<sup>35</sup> ที่ทดสอบความแข็งแรงการยึดติดทนแรงดึง พบร่วมในกลุ่มที่ทำการทดสอบหลังการฉายแสง 1-4 นาที การยึดติดล้มเหลวจะเกิดขึ้นที่ระหว่างแบร์กเกตกับวัสดุยึดติด แตกต่างกับกลุ่มที่ทดสอบหลังการฉายแสง 24 ชั่วโมง ที่วัสดุยึดติดมีการพอลิเมอร์เรซินเพิ่มขึ้น การล้มเหลวเกิดขึ้นภายในเนื้อวัสดุยึดติดหรือระหว่างวัสดุยึดติดกับผิวฟัน ดังนั้นจึงอาจสรุปได้ว่า ชนิดของแหล่งกำเนิดแสงและความเข้มของแสงไม่มีผลต่อปริมาณที่เกิดการยึดติดล้มเหลว และการยึดติดล้มเหลวในช่วงแรกจะเกิดขึ้นที่บริเวณระหว่างฐานแบร์กเกตและวัสดุเรซิโน่คอมโพสิต

การวัดความเข้มแสงเริ่มต้นก่อนการทำลองในการศึกษาครั้งนี้ มีวัตถุประสงค์เพื่อเป็นการวัดเทียบความเข้มแสงของผลิตภัณฑ์เครื่องฉายแสงแต่ละชนิดด้วยมาตรฐานเดียวกัน

(Bluephase<sup>®</sup> meter, Ivoclar Vivadent Inc, Pineview Drive, Amherst, NY, USA) วัดค่าความเข้มแสงตามคำแนะนำของผู้ผลิตทั้งหมด 3 ครั้ง แล้วนำค่าที่วัดได้มาหาค่าเฉลี่ยความเข้มแสงของเครื่องฉายแสงแต่ละเครื่อง วัดก่อนทำการทดลองครั้งเดียว เช่นเดียวกับ Bishara และคณะ<sup>24</sup> อย่างไรก็ตามซึ่งค่าที่วัดได้จากการศึกษาในครั้งนี้แตกต่างไปจากค่าที่บิชาราผู้ผลิตอ้าง อาจเนื่องมาจากวิธีการวัดและเครื่องมือที่แตกต่างกัน

ตามผลการทดลองที่ได้จากการวิจัยครั้งนี้ สามารถสรุปได้ว่าเครื่องฉายแสงที่มีความเข้มแสงที่แตกต่างกัน และระยะเวลาในการฉายแสงต่างมีผลต่อต่อความแข็งแรงของพันธะเฉือนในช่วงแรกของเบร็กเกตและผิวเคลือบฟัน การใช้เครื่องฉายแสงแล็คลอตต์ ความเข้มแสง 2,230 มิลลิวัตต์/ตารางเซนติเมตร ฉายแสง 6 วินาที ให้ค่าความแข็งแรงพันธะเฉือนในการยึดติดของเบร็กเกตได้เทียบเท่ากับการใช้เครื่องฉายแสงอาไลเจนแบบดังเดิมที่ต้องใช้เวลาฉายแสง 20 วินาที ทำให้ลดเวลาในการทำงานของหันตแพทที่จัดฟัน และช่วยลดความเมื่อยล้าของผู้ป่วยระหว่างขั้นตอนการติดเบร็กเกตลงได้แต่อย่างไรก็ตาม งานศึกษานี้ได้ทำการทดสอบวัสดุติดยึดทางหันตกรรมจัดฟันเพียงผลิตภัณฑ์เดียว (Transbond<sup>TM</sup> XT Light Cure Adhesive Paste, 3M Unitex, Monrovia, California, USA) และในส่วนข้อจำกัดในเรื่องของลักษณะการทำงาน ลักษณะของแสงที่ปล่อยออกมานั้นแต่ละเครื่องจะต่างกัน อาจไม่สามารถนำเอาไปสรุปรวมเพื่อใช้กับวัสดุติดยึดทางหันตกรรมจัดฟันและผลิตภัณฑ์เครื่องฉายแสงชนิดอื่น ๆ ได้

## สรุป

- ความเข้มแสงและระยะเวลาในการฉายแสงจากเครื่องฉายแสงที่แตกต่างกันมีผลต่อความแข็งแรงของพันธะเฉือนในช่วงแรก ของเบร็กเกตและผิวเคลือบฟัน โดยเมื่อฉายแสงจากเครื่องฉายแสงที่มีความเข้มแสงสูงขึ้นและ/หรือระยะเวลาขึ้นจะสามารถเพิ่มค่าความแข็งแรงพันธะได้

- เครื่องฉายแสงแล็คลอตต์ว่า 2,230 มิลลิวัตต์/ตารางเซนติเมตร ฉายแสงเป็นเวลาเพียง 6 วินาที ให้ความแข็งแรงของพันธะเฉือนในช่วงแรกไม่แตกต่างอย่างมีนัยสำคัญกับเครื่องฉายแสง

อาไลเจนเดเมตรอน แล็คลอตต์ ความเข้มแสง 410 มิลลิวัตต์/ตารางเซนติเมตร ที่ฉายแสงเป็นเวลา 20 วินาที ซึ่งเป็นกลุ่มควบคุม และเครื่องฉายแสงแล็คลอตต์เดเมตรอน เอทู ความเข้มแสง 1,140 มิลลิวัตต์/ตารางเซนติเมตร ที่ฉายแสงเป็นเวลา 20 วินาที โดยทั้งสามกลุ่มข้างต้นนี้มีค่าความแข็งแรงของพันธะเฉือนสูงกว่ากลุ่มที่ใช้เครื่องฉายแสงแล็คลอตต์ ความเข้มแสง 1,140 มิลลิวัตต์/ตารางเซนติเมตร ที่ฉายแสงเป็นเวลา 6 วินาที อย่างมีนัยสำคัญ

- ชนิดของเครื่องฉายแสง ความเข้มแสงและระยะเวลาในการฉายแสงไม่มีความสัมพันธ์กับตำแหน่งการยึดติดล้มเหลวอย่างมีนัยสำคัญทางสถิติ

ดังนั้น เครื่องฉายแสงแล็คลอตต์ ความเข้มแสงสูงกว่า 2,000 มิลลิวัตต์/ตารางเซนติเมตร อาจพิจารณาเป็นวิถีทางเลือกหนึ่งของหันตแพทที่จัดพันธะเฉือนในกรณีที่ต้องการลดเวลาในการติดเบร็กเกตได้ โดยที่ค่าความแข็งแรงในการยึดติดไม่แตกต่างกับการใช้เครื่องฉายอาไลเจนแบบดังเดิม

## เอกสารอ้างอิง

- Newman GV. Epoxy adhesives for orthodontic attachments: progress report. Am J Orthod. 1965;51:901-12.
- Renolds IR. A review of direct orthodontic bonding. Br J Orthod. 1975;2:171-8.
- Keim RG, Gottlieb EL, Nelson AH, Vogels DS, 3<sup>rd</sup>. 2002 JCO study of orthodontic diagnosis and treatment procedures. Part 1. Results and trends. J Clin Orthod. 2002;36:553-68.
- Tavas MA, Watts DC. Bonding of orthodontic brackets by transillumination of a light activated composite: an in vitro study. Br J Orthod. 1979; 6:207-8.
- Dunn WJ, Taloumis LJ. Polymerization of orthodontic resin cement with light-emitting diode curing units. Am J Orthod Dentofacial Orthop. 2002;122:236-41.
- Mills RW, Jandt KD, Ashworth SH. Dental composite depth of cure with halogen and blue light emitting diode technology. Br Dent J. 1999; 186:388-91.

7. Weinberger SJ, Foley TF, McConnell RJ, Wright GZ. Bond strengths of two ceramic brackets using argon laser, light, and chemically cured resin systems. *Angle Orthod.* 1997;67:173-8.
8. Lalani N, Foley TF, Voth R, Banting D, Mamandras A. Polymerization with the argon laser: curing time and shear bond strength. *Angle Orthod.* 2000;70:28-33.
9. Pettemerides AP, Ireland AJ, Sherriff M. An ex vivo investigation into the use of a plasma arc lamp when using a visible light-cured composite and a resin-modified glass poly (alkenoate) cement in orthodontic bonding. *J Orthod.* 2001;28:237-44.
10. Althoff O, Hartung M. Advances in light curing. *Am J Dent.* 2000;13:77D-81D.
11. Stahl F, Ashworth SH, Jandt KD, Mills RW. Light-emitting diode (LED) polymerisation of dental composites: flexural properties and polymerisation potential. *Biomaterials.* 2000;21:1379-85.
12. Rueggeberg FA, Twiggs SW, Caughman WF, Khajotia S. Lifetime intensity profiles of 11 light-curing units. *J Dent Res.* 1996;75:380.
13. Jandt KD, Mills RW, Blackwell GB, Ashworth SH. Depth of cure and compressive strength of dental composites cured with blue light emitting diodes (LEDs). *Dent Mater.* 2000;16:41-7.
14. Mavropoulos A, Staudt CB, Kiliaridis S, Krejci I. Light curing time reduction: in vitro evaluation of new intensive light-emitting diode curing units. *Eur J Orthod.* 2005;27:408-12.
15. Zachrisson BU. Bonding in orthodontics. In: Gruber TM, Vanarsdall RL, editors. *Orthodontics Current Principles and Techniques* 4 ed. St. Louis: Elsevier Mosby; 2005. p. 579-93.
16. Talbot TQ, Blankenau RJ, Zobitz ME, Weaver AL, Lohse CM, Rebellato J. Effect of argon laser irradiation on shear bond strength of orthodontic brackets: an in vitro study. *Am J Orthod Dentofacial Orthop.* 2000;118:274-9.
17. Sfondrini MF, Cacciafesta V, Pistorio A, Sfondrini G. Effects of conventional and high-intensity light-curing on enamel shear bond strength of composite resin and resin-modified glass-ionomer. *Am J Orthod Dentofacial Orthop.* 2001;119:30-5.
18. Swanson T, Dunn WJ, Childers DE, Taloumis LJ. Shear bond strength of orthodontic brackets bonded with light-emitting diode curing units at various polymerization times. *Am J Orthod Dentofacial Orthop.* 2004;125:337-41.
19. Mini LED<sup>TM</sup> SuperCharged [database on the Internet]. acteongroup.com 2009. Available from: [http://www.acteongroup-products.com/IMG/pdf/MLED\\_Supercharged\\_D05201\\_EN.pdf](http://www.acteongroup-products.com/IMG/pdf/MLED_Supercharged_D05201_EN.pdf).
20. Staudt CB, Krejci I, Mavropoulos A. Bracket bond strength dependence on light power density. *J Dent.* 2006;34:498-502.
21. Mavropoulos A, Cattani-Lorente M, Krejci I, Staudt CB. Kinetics of light-cure bracket bonding: power density vs exposure duration. *Am J Orthod Dentofacial Orthop.* 2008;134:543-7.
22. Usumez S, Buyukyilmaz T, Karaman AI. Effect of light-emitting diode on bond strength of orthodontic brackets. *Angle Orthod.* 2004;74:259-63.
23. Olsen ME, Bishara SE, Damon P, Jakobsen JR. Evaluation of Scotchbond Multipurpose and maleic acid as alternative methods of bonding orthodontic brackets. *Am J Orthod Dentofacial Orthop.* 1997;111:498-501.
24. Bishara SE, Ajlouni R, Oonsombat C. Evaluation of a new curing light on the shear bond strength of orthodontic brackets. *Angle Orthod.* 2003;73:431-5.
25. Silta YT, Dunn WJ, Peters CB. Effect of shorter polymerization times when using the latest generation of light-emitting diodes. *Am J Orthod Dentofacial Orthop.* 2005;128:744-8.
26. Vandewalle KS, Ferracane JL, Hilton TJ, Erickson RL, Sakaguchi RL. Effect of energy density on properties and marginal integrity of posterior resin composite restorations. *Dent Mater.* 2004;20:96-106.
27. Yoshikawa T, Burrow MF, Tagami J. A light

- curing method for improving marginal sealing and cavity wall adaptation of resin composite restorations. *Dent Mater.* 2001;17:359–66.
28. Halvorson RH, Erickson RL, Davidson CL. Energy dependent polymerization of resin-based composite. *Dent Mater.* 2002;18:463–9.
  29. Oberholzer TG, Pameijer CH, Grobler SR, Rossouw RJ. Effect of power density on shrinkage of dental resin materials. *Oper Dent.* 2003;28:622–7.
  30. Sakaguchi RL, Berge HX. Reduced light energy density decreases post-gel contraction while maintaining degree of conversion in composites. *J Dent.* 1998;26:695–700.
  31. Niepraschk M, Rahiotis C, Bradley TG, Eliades T, Eliades G. Effect of various curing lights on the degree of cure of orthodontic adhesives. *Am J Orthod Dentofacial Orthop.* 2007;132:382–4.
  32. Rego EB, Romano FL. Shear bond strength of metallic brackets photo-activated with light-emitting diode (LED) at different exposure times. *J Appl Oral Sci.* 2007;15:412–5.
  33. Tavas MA, Watts DC. A visible light-activated direct bonding material: an in vitro comparative study. *Br J Orthod.* 1984;11:33–7.
  34. Oesterle LJ, Messersmith ML, Devine SM, Ness CF. Light and setting times of visible-light-cured orthodontic adhesives. *J Clin Orthod.* 1995;29:31–6.
  35. Nisalak P, Jaochakarasiri P, Verayangkura P, Phunyanant R. Initial tensile bond strength among various types of orthodontic adhesives. *J Dent Assoc Thai.* 2006;56:301–9.
  36. Eliades T, Eliades G. Orthodontic adhesive resins. In: Brantley WA, Eliades T, editors. *Orthodontic materials : Scientific and Clinical Aspects.* Stuttgart, New York: Thieme; 2001. p. 201–19.
  37. O'Brien KD, Watts DC, Read MJ. Light cured direct bonding. Is it necessary to use a primer? *Eur J Orthod.* 1991;13:22–6.

# Evaluation of 3 light curing units with different light intensity on initial shear bond strength of orthodontic adhesives

Puntip Dongpaiboon D.D.S.<sup>1</sup>

Paiboon Techalertpaisarn D.D.S., Ph.D., Diplomate, Thai Board of Orthodontics<sup>2</sup>

Namchok Promsopa<sup>3</sup>

Sarik Kananurak<sup>3</sup>

<sup>1</sup>Graduate student, Department of Orthodontics, Faculty of Dentistry, Chulalongkorn University

<sup>2</sup>Department of Orthodontics, Faculty of Dentistry, Chulalongkorn University

<sup>3</sup>Dental student, Faculty of Dentistry, Chulalongkorn University

## Abstract

**Objective** To evaluate the effect of using 3 light curing units with different light intensity on initial shear bond strength of orthodontic adhesives.

**Materials and methods** Sixty human upper premolars were divided into 4 groups of 15 each. Tooth surfaces were treated with pumice and phosphoric acid, then rinsed and blown dry. Brackets were bonded to tooth surfaces with light cured adhesive under 4 conditions; Group 1 a conventional halogen unit (Demetron LC<sup>TM</sup>) at an intensity of 410 mW/cm<sup>2</sup> for 20 seconds (control), Group 2 LED unit (Demetron A.2<sup>TM</sup>) at an intensity of 1,140 mW/cm<sup>2</sup> for 20 seconds, Group 3 LED unit as group 2 for 6 seconds and Group 4 LED unit (Valo) at an intensity of 2,230 mW/cm<sup>2</sup> for 6 seconds. Shear bond strength of the specimens were tested after light activation for 4 minutes. The means of bond strength among groups were compared, using ANOVA. The adhesive remnant index in each group were measured and tested by the Chi-square at 95% confidence.

**Results** Means shear bond strength and standard deviation of groups 1, 2, 3 and 4 were  $4.76 \pm 0.99$ ,  $5.35 \pm 1.47$ ,  $3.98 \pm 1.07$  and  $5.69 \pm 1.11$  MPa, respectively. Those of group 2 and 4 were more than those of group 3 significantly. No statistically significant differences were found between the ARI scores among groups.

**Conclusion** The shear bond strength of LED light-curing unit with high intensity 2,230 mW/cm<sup>2</sup> (Valo) for 6 seconds was not significantly different from that obtained when the bracket were cured with the conventional halogen-based light-curing unit (Demetron LC<sup>TM</sup>) at an intensity of 410 mW/cm<sup>2</sup> for 20 seconds and a commercial LED unit (Demetron A.2<sup>TM</sup>) at an intensity of 1,140 mW/cm<sup>2</sup> for 20 seconds.

(CU Dent J. 2014;37:149–60)

**Key words:** bond strength; bracket; curing time

---

**Correspondence** to Paiboon Techalertpaisarn, paiboon.t@chula.ac.th